

なお、図中の $N = \sqrt{\frac{2S_0}{\omega^3}}$ S_0 : パワースペクトル密度関数
 またここでは、観測波形として応答変位、応答速度波形を用いた。図-2は $\alpha = 1/2$ (緩やかな非線形) α と β であり、同定した値が、理論値、実験値と比較的良好一致している。また図-3は、 $\alpha = 1/21$ (完全弾塑性に近い非線形系) α と β であるが、同定した値が $X_e/N < 1$, $X_e/N > 10$ では理論値、実験値と一致するが、 $X_e/N = 1 \sim 10$ では一致しない。この原因としては、応答パワースペクトル密度がピークを2つ持つ等によるものと思われる。

3. 液状化問題への応用例^{*6)}

観測波形の作成は、Finn^{*7)}の有効応力解析法を用いた。

拡張カルマンフィルターに用いる出力波形は、応答変位、応答速度波形とした。そして、時間軸を区間に分割し、区間内は定常であるものとして、各区間に対して ω_{eq} , β_{eq} の同定を行なった。図-4は、Managua Nicaragua NS成分の入力波形に対する、入力加速度、応答変位、間隙水圧比、 ω_{eq} , β_{eq} の経時変化を示したものである。同図より、間隙水圧比の上昇に伴い、 ω_{eq} は減少し、 β_{eq} は増加する傾向を示し、液状化発生過程の軟化現象を ω_{eq} , β_{eq} を用いて表現できることがわかる。また、間隙水圧比が60%以上になると、応答変位波形は急激に長周期化するとともに、軸ズレ現象も併発する。この現象は ω_{eq} , β_{eq} の急変として表現される。また、同拡張カルマンフィルターを用いて支配方程式を線形に ω_{eq} , β_{eq} が変化するものとして同定を行なった^{*8)}が、間隙水圧比が60%以上では同定が不可能となった。次に、間隙水圧比が100%になると ω_{eq} , β_{eq} は一定値となった。この現象は、有効応力解析法において、100%以後の応答計算における安定性を保つことで、初期剛性に対して3%の剛性を残して一定にしているためである。この3%は、固有円振動数で5.93 rad/secとなり、同定結果と一致する。なお、60%以上の間隙水圧比以後の応答変位波形には軸ズレが併発するため、拡張カルマンフィルターに用いる支配方程式にも、この現象を考慮している。以上により、液状化発生過程の複雑な現象を、拡張カルマンフィルターを用いて、 ω_{eq} , β_{eq} により表現できることが明らかになった。

*参考文献

- 1) Jazwinski, A.H.: Stochastic Process and Filtering Theory, 1970.
- 2) Carmichael, D.G.: The State Estimation Problem in Experimental Structural Mechanics, Application of Statistics & Probability Soil and Structural Engineering, 3rd, Inter. Conf. 1977. 2.
- 3) 星谷, 奇藤: 拡張カルマンフィルターを用いた同定問題の各種振動への応用, 土壌集, 投稿中
- 4) 竹尾: 不規則外力を受ける双一次履歴系の等価線形化について, 土壌集, 1973. 11.
- 5) Ivan, W.D.: Response of the Bilinear Hysteretic System to Stationary Random Excitation, Jour. ASA, Vol. 43, No. 3, 1968.
- 6) 星谷, 奇藤: 液状化に伴う地震の等価線形化, 土壌集, 投稿中
- 7) Finn, W.D.L.: An Effective Stress Model for Liquefaction Proc. ASCE, Vol. 103, No. GT6, 1977.
- 8) 池田: 液状化に伴う地震応答の等価線形化特性, 武蔵工大土木部, 修士論文 昭和57年度

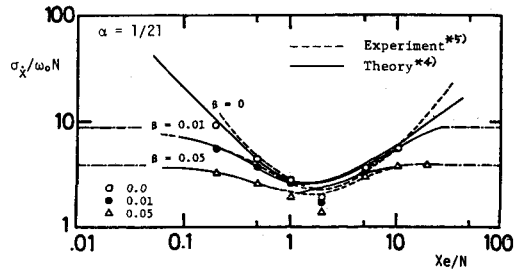
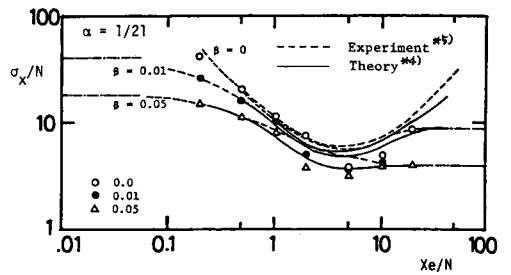


図-3 二乗平均変位及び速度 ($\alpha = 1/21$)

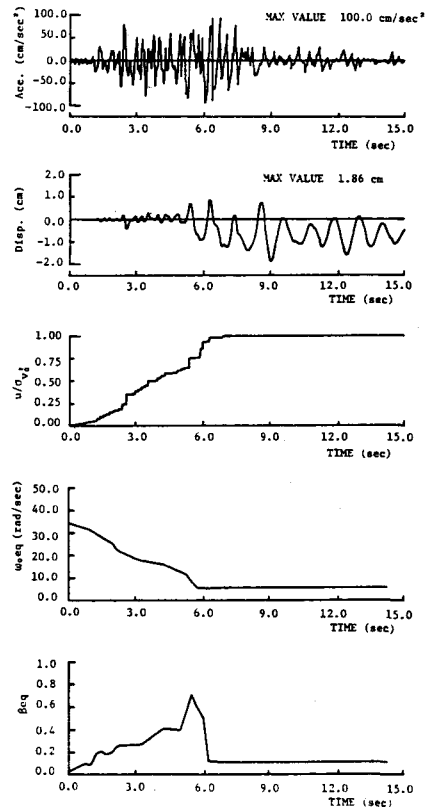


図-4 入力加速度、応答変位、間隙水圧比、 ω_{eq} , β_{eq} の経時変化